

## مقایسه ساختمان باسیله‌ای اسپوردار هوایی با میکروسکوپ الکترونی

دکتر محمد نایبی  دکتر پریخ کهنه 

اسکوپ الکترونیکی مطالعه شده است (۵۶). امروزه با استفاده از متدهای رنگ آمیزی منفی (Neg. stain) و سایه‌دار کردن (Shadowing) امکان مطالعه دقیق ساختمان باسیله‌ای و اسپور آنهاست (۶-۷-۸). در این کار ما سعی کردیم علاوه بر متدهای بالا از تکنیک جدیدی با اسم فریز ایچینگ (Freeze Etching) استفاده کنیم و با بکار گرفتن میکروسکوپ الکترونیکی، باسیله‌ای هوازی اسپوردار را با همدیگر مقایسه نموده فرق هر کدام را مشخص نماییم که در آینده برای تشخیص این باکتریها کمک شایانی خواهد نمود.

### هند و هواد لازم

#### تهیه باسیله‌ها :

باسیله‌ای که در این آزمایشها مورد استفاده قرار گرفته از دانشگاهها و افرادی گرفته شده است که در تابلوی صفحه بعد گزارش می‌شود.

#### مقدمه

امکان اینکه در یک خانواده از باکتریها آنها را به وسیله مرفو لوژی از همدیگر تشخیص داد، از زمان قدیم گزارش شده است. اخیراً با توسعه میکروسکوپ الکترونیکی میتوان این تفاوتها را به وضوح دید. باسیله‌ای اسپوردار هوایی از نظر اندازه و شکل اسپور و طرز قرار گرفتن آن با همدیگر متفاوتند (۱-۳). تغییر شکل این باسیله‌ها کم و بیش بدرجۀ حرارت، pH و تنذیه آنها بستگی دارد.

تفاوت باسیله‌ای هوایی اسپوردار قبل و بعد از اسپور دارشدن به وسیله رنگ آمیزی گزارش شده است (۲) ولی تفاوت‌های آناتومی ایندو دسته به وسیله میکروسکوپ الکترونیکی قابل مطالعه می‌باشد. اولین بار به وسیله رابینو Rabinow گزارش گردیده است (۲).

چندین سال قبل انواع باسیله‌ای و اسپور آنها با متد میکرو-

اسم باکتری	تیپ باکتری	محل اخذ باکتریها
Bacillus Cereus	۷۰۰۴	دانشگاه تبریز بخش باکتریولوژی
Bacillus Cereus	۴۳۴۲	مرکز پزشکی رضا پهلوی
B. Megaterium	۶۴۵۹	دانشگاه میشیگان - بخش لابر اتوار
B. Megaterium	۱۵۵۱	دانشگاه میشیگان - بخش لابر اتوار
B. Polymyxa	U.C.	دانشگاه سیراکوس - بخش باکتریولوژی
B. Licheniformis	۹۹۴۵ A	دانشگاه میشیگان - بخش باکتریولوژی
B. Subtilis	۹۲۳۳	دانشگاه ماساچوست
B. Sphaericus	۱۲۲۰۰	دانشگاه ملی ایران - آزمایشگاه جرجانی
B. Anthracis	۱۱۰۰	دانشگاه تبریز - دپارتمان باکتریولوژی
B. Anthracis	Sterne	دانشگاه میشیگان - دپارتمان باکتریولوژی
B. Macroides and B. Stearothermophilus	A,B	دانشگاه میشیگان - دپارتمان باکتریولوژی

قرار گرفته اند و از فیبر های توی هم رفته تشکیل شده اند (اشکال ۲ و ۳) که انتظار چنین مرفو لوژی را از این باسیلهای داشتیم؛ ولی دررنگ آمیزی ساده وارونگی هائی در غشاء خارجی دیده می شود که به وسیله میکروسکوپ الکترونی چنین وارونگی مشاهده نشد. شبیه این مرفو لوژی در باسیل B. Macroids مشاهده گردید (اشکال ۹-۸-۵) و در این باسیل غشاء خارجی و طرز قرار گرفتن واحد های تشکیل دهنده غشاء خیلی واضح و روشن تر از باسیل فاستیدیویوز بود. غشاء داخلی B. Macroids خیلی واضح تر از غشاء داخلی

B. Fastidiosus مشاهده می شود (شکل ۹). علاوه بر قسمت لایه داخلی، یک لایه گلوبول خارجی نیز در نوع P Fastidiosus دیده می شود (شکل ۸). از مطالعه مرفو لوژی این باسیل بنظر میرسد که A. B. Fastidiosus غشاء خارجی تکمیلی ندارد (شکل ۶). غشاء خارجی A. B. Fastidiosus خیلی کلفت تر از نوع A دیده می شود (شکل ۷). چنین وضعی در غشاء خارجی باسیلهای B. Polymyxa دیده نمی شود. در این باسیل لایه خارجی بطور مرتب و گلوبولی قرار گرفته است (اشکال ۱۱-۱۲ و ۱۳) . چنین مرفو لوژی گلوبول (Globular) در باسیل شاربن نیز دیده می شود (اشکال ۱۵ و ۱۶)؛ ولی لایه خارجی باسیل شاربن بصورت سیگما ته مشاهده گردید. در باسیل شاربن غشاء خارجی از سه لایه تشکیل شده است که بصورت گلوبول روی هم

### نمی نه و تکثیر بسیار

تمام باسیلهای در محیط کشت های اختصاصی (۹) و محیط کشت آبگوش آگار دار دیغ کو کشت داده شدند. برای اینکه تولید اسپور به وسیله باسیلهای باسرعت انجام گیرد، به محیط کشت های نیترات سدیم و کلرور منیزیم بمقدار ۲ میلی گرم در لیتر اضافه گردید؛ تمام محیط کشت های در درجهات حرارت ۳۷۹۳۵ درجه بمدت ۲۶ ساعت قرار گرفتند و دوره انکو باسیون تا ۴۸ ساعت ادامه داشت.

### میکروسکوپ الکترونیکی

برای اینکه نمونه برای مطالعه با میکروسکوپ الکترونیکی آماده شود، اول با استفاده از متد فریز ایچینگ فیلم های نازکی از نمونه ها تهیه و به وسیله OSO4 ثابت گردید (۱۱-۱۰) و در روی گرد های مسی قرار گرفتند. نمونه های با استفاده از این گرد های مسی در کردن ورنگ آمیزی منفی (۱۰) و با استفاده از میکروسکوپ الکترونیکی CM6 «وردمطالعه قرار گرفتند. عکس های الکترونیکی به وسیله دستگاه عکس برداری کدکا با استفاده از فیلم های ۳۵ میلی عملی گردید که نتایج حاصله از مطالعه این فتو گرافها بقرار زیر میباشد:

### نُمِيَّبَه

سلولهای بدون اسپور Vegetative Cells

### - غشاء خارجی :

غشاء خارجی باسیل B. Fastidiosus بطور مرتب

#### ۴- اسپورها:

مطالعه نمونه تهیه شده اسپور *B.Festidious* نشان میدهد که اسپور این باسیل غشاء خارجی وسیعی دارد که بامتد. های دیگر غیر از متد Frozen Etched، دیدن آنها غیر ممکن میباشد. (اشکال ۳۵-۳۷) غشاء اسپور این باسیلها از لایه های متعددی تشکیل شده اند که زیرا گزو اسپور قرار دارند و قرکیباتشان شاید از فیرهای باشد که بخوبی در شکل (۳۵) نمایان است و از روی هم قرار گرفتن این فیرهای اسپور تشکیل میشود (شکل ۳۶). روی هم قرار گرفتن این لایه های باعث مقاوم شدن اسپور در مقابل عوامل فیزیکی و شیمیائی میشود (شکل ۳۷). چنین لایه هایی در باسیل *B.Fastidious* و باسیل سوبتیلیس *B.Subtilis* (شکل ۳۸) و باسیل *B.Cereus* (اشکال ۴۲-۴۳-۴۴) تغییر یافته و بطور منظم روی هم قرار ندارند؛ همینطور در باسیل مگاتریوم این لایه های کاملاً روشن نیستند (اشکال ۵۲-۵۱). در بعضی از باسیلها مانند :

*B.Polymyxa*, *S.Ureae*, *B.Stearothermophilus*, *B.Sphaerilus* اسپورها ساختمان مشخصی ندارند (اشکال ۴۷-۴۹-۴۸).

پیش

#### غشاء خارجی :

ساختمان غشاء خارجی بعضی از باکتریها (۱۴-۱۳-۱۲) قبل از اش شده است. ساختمان غشاء خارجی باسیل پلی-*Mikto* *B.Polymyxa* بوسیله هوری ۱۵-۱۶ ورده مطالعه قرار گرفته است.

از مایش های ما، ضمن تأیید گزارش های موری، ساختمان مشابه باسیل پلی-*Mikto* را در باسیل های : *B.Fastidious*, *B.Macroides*, *B.Subtilis*, *B.Licheniformis*, *B.Sphaericus*, *B.Psychrophilus*, *B.Megaterium*, ساختمان مشخصی نداشتند. ساختمان غشاء خارجی سلوهای گرام مثبت با هدر رنگ آمیزی منفی Negative Staining و سایه دار گردند Shadowing نیز مورد مطالعه قرار گرفت و لایه نتایج حاصله با متد Freeze Etching لا یه های غشاء خارجی باسیل شاربن و سوبتیلیس کاملاً مشخص بود.

بامتد Freeze Etching انواع متعدد مژوزوم های موجود در باسیل های بی هوایی مورد مطالعه قرار گرفت و نتایج حاصله نشان دهنده این بود که وزیکولهایی غیر از مژوزوم

قرار گرفته اند. غشاء خارجی باسیل *B.Psychrophilus* نیز بصورت گلبولی است (شکل ۱۷) ولی وقتی این باسیل بصورت اسپور درمی آید، اندازه اش بزرگ شده و فاصله مراکز گلبول ها نسبت به یکدیگر بیشتر میگردد (اشکال ۱۸ و ۱۹). باسیل اسفاریکو *B.Spharicus* مثل باسیل پسی کورفیلوس *B.Psychrophilus* اسپور دوری ایجاد کرده و مشخصات غشاء خارجی شان شبیه همدیگر میباشد. این دو در موقع جوانه زدن ساختمان مشخصی ندارند ولی وقتی بصورت فورم درمی آیند، دیواره خشن و کلفتی دارند (شکل ۵۵). فورم *B.Megaterium* دیگر غشاء خارجی را باسیل مگاتریوم دارند که تفسیر وباسیل لشی فورمیز *B.Lichemiformis* طرح ساختمان غشاء خارجی این باسیل ها برای ما میسر نبود (اشکال ۲۰ و ۲۱). کوکسی هوایی سارسینا-Sarcina-Ureas و باسیل استرترموفیلوس هردو، غشاء خارجی مشبك توی هم رفته دارند.

#### ۳- غشاء پلاسمما:

در تمام باسیل های که مورد مطالعه قرار گرفته اند، غشاء پلاسمما زیر غشاء خارجی قرار گرفته و سطح بیرونی این غشاء کاملاً مشخص و واضح میباشد (اشکال ۳-۴-۹-۱۶-۱۷-۲۲). قسمت بیرونی غشاء پلاسماما عمولاً از واحد های مخصوصی بقطر ۵ تا ۱۵ میلی میکرون تشکیل شده است (اشکال ۱۱-۲۰-۲۲-۳۷-۹-۱۱)؛ ولی در لایه داخلی غشاء پلاسمما، چنین واحدهای دیده نشد (شکل ۲۳).

#### ۳- مژوزوم ها:

در نواحی مختلف غشاء پلاسمما ارگانهای باسم مژوزوم دیده میشوند که در بعضی از باسیلها بصورت ساختمان منظمی قرار گرفته و تعدادشان محدود میباشد (اشکال ۱۲-۱۷-۳۲۹) مژوزوم های در بعضی از باسیلها تعدادشان زیاد و بیشتر قسمت های غشاء پلاسمما را اشغال کرده اند و ساختمان مشبكی دارند (اشکال ۲۷-۲۶-۲۸). در بعضی از باسیلها ارگانهای مژوزوم محوطه بزرگی را اشغال کرده اند و حتی بطرف غشاء خارجی نیز پیشرفت نموده اند (اشکال ۳۹-۳۲). مژوزوم ها در باسیل *B.Cereus* (اشکال ۳۵ و ۳۶) منشاء مژوزوم های روی هم قرار گرفته اند (اشکال ۳۵ و ۳۶). منشاء مژوزوم های از مطالعه باسیل *S.Ureas* مشخص میشود و معلوم میگردد که مژوزوم های منشاء غشاء خارجی دارند (شکل ۳۳). مطالعه مژوزوم های منشاء مژوزوم های در باسیل مگاتریوم نیز چنین عقیده ای را تائید میکند (اشکال ۲۱-۲۳-۳۵).

اسپورها از لایه هائی با اسم کت Coat اسپور تشکیل شده‌اند که باعث مقاوم شدن آنها در مقابل عوامل فیزیکی و شیمیائی می‌شود.

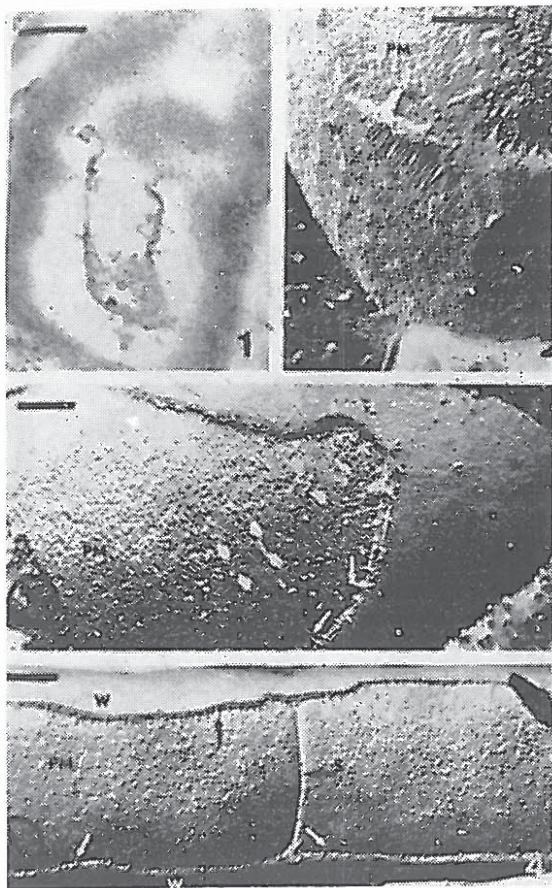
در غشاء این باسیلهای وجود دارد؛ در صور تیکه متدهای گلاسیک قادر به نشان دادن اینها نمود. ساختمان اسپورها نیز با این متدهای مورد مطالعه قرار گرفته‌اند که تقریباً باستانی باسیلهای مگاتریوم و اسفاریکوس. تمام اسپورها ساختمان یکسانی داشتند. تمام

## SUMMARY

1. The existence of differences and similarities in the surface features not only of different organisms or groups but also within given species has been demonstrated by a variety of techniques.
2. The different reactions of various organisms to the Gram stain might well be taken as one piece of evidence, the use of the electron microscop and associated preparative techniques (including direct shadows, thin sections, negative stains, and freeze-etches) provided clear indications and details for such variations.
3. Many of these preparative procedures when used alone, however, do not provide adequate views, and thereby sufficient information, to permit the desired comprehension of the three dimensional nature of the cell surface.
4. Direct shadows or the preparation of carbon replicas by the use of metals of fine grain (e.g., platinum-carbon) afford the opportunity to determine the characteristics of cell surfaces and to provide clearer understanding of the nature of such surfaces than is possible with negative staining. It is thus possible to observe, for example, not only gross morphological features but also globular or meshlike surfaces with these techniques; clearly, however, only exposed surfaces can be viewed. When spores of *B. polymyxa* and *B. fastidiosus* are compared by means of the carbon replica the utility of the freeze-etching approach, particularly for analysis of surface structures and their component layers, becomes readily apparent.

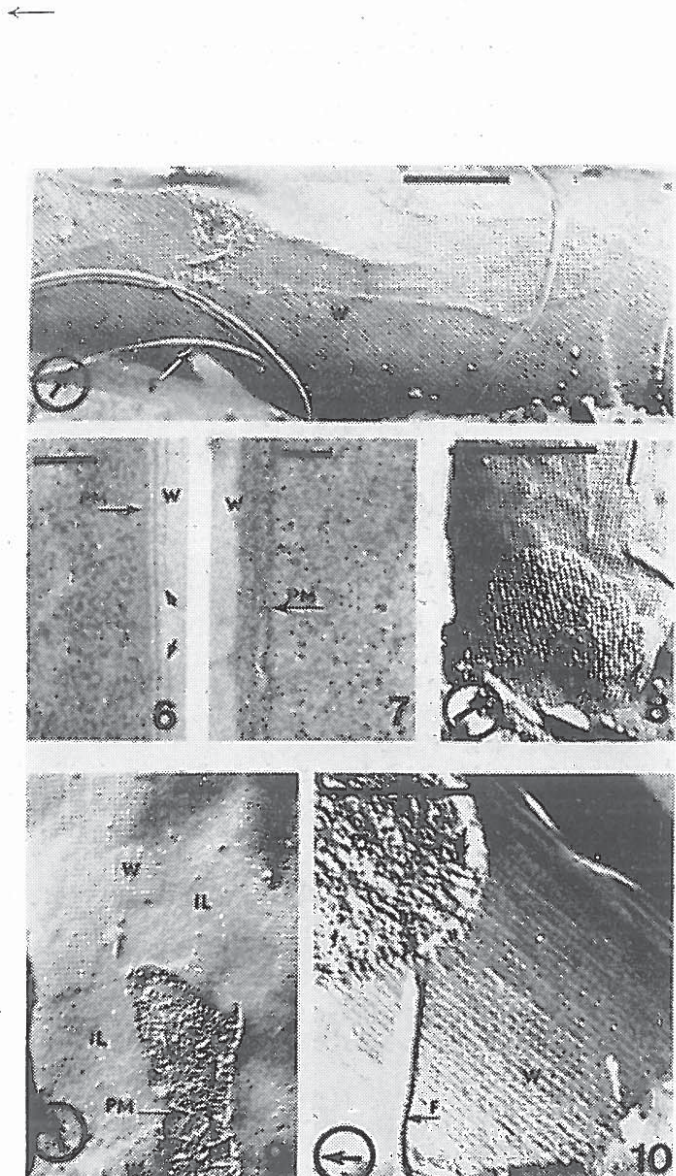
## REFERENCES

1. Smith, N. R., R.E. Gordon, and F.E. Clark. 1952. Aerobic sporeforming bacterial. U.S Dept. Agr. Monograph no. 10.
2. Robinow, C.F. 1960. Morphology of bacterial spores, their development and germination, p. 207-248. In I.C. Gunsalus and R.Y. Stanier (ed), *The bacteria*, vol. 1. 10. Academic press Inc., York.
3. Murrell, W. G. 1967. The biochemistry of the bacterial endospore, p. 133-254. In A.H. Rose and J.F. Wilkinson (ed), *Advances in microbiology*. Academic Press Inc. New York.
4. Knaysi, G., R. F. Baker, and J. Hillier. 1947. A study, with the high-voltage electron microscope, of the endospore and life cycle of *Bacillus mycoides*. *J. Bacteriol.* 53:525-537.
5. Knaysi, G., and J. Hillier. 1949. Preliminary observations on the germination of the endospore in *Bacillus megatherium* and the structure of the spore coat, *J. Bacteriol.* 57:23-29.
6. Nermut, M. V., and R. G. E. Murray. 1967. Ultrastructure of the cell wall of *Bacillus polymyxa*. *J. Bacteriol.* 99:1949-1965.
7. Thornley, M. J., R.W. Horne, and A. M. Glauert 1965. The fine structure of *Micrococcus radiodurans*. *Arch. Mikrobiol.* 51:267-289.
8. Ellar, D.J., and D. G. Lundgren. 1967. Ordered sub-
- structure in the cell wall of *Bacillus cereus*. *J. Bacteriol.* 94:1778-1780.
9. Leadbetter, E.R., and S. C. Holt. 1968. The fine structure of *Bacillus fastidiosus*. *J. Gen. Microbiol.* 52:299-307.
10. Holt, S. C., and E. R. Leadbetter. 1967. Fine structure of *Sporocytophaga myxococcoides*. *Arch. Mikrobiol.* 57:199-213.
11. Giktm S.C., H. G. Truper, and B. J. Takacs. 1968. Fine structure of *Ectothiorhodospira mobilis* strain 8113 thylakoids: Chemical fixation and freeze-etching studies. *Arch. Mikrobiol.* 62:111-128.
12. Salton, M. R. J., and R. C. Williams. 1954 Electron microscopy of the cell walls of *Bacillus megaterium* and *Rhodospirillum rubrum*. *Biochem. Biophys. Acta* 14:455-458.
13. Salton, M.R.J. 1964. *The bacterial cell wall*, Elsevier, Amsterdam.
14. Murray, R. G. E. 1968. Bacterial cell wall anatomy in relation to the formation of spheroplasts and protoplasts, P. 1-18. L. B. Guze (ed), *Microbial protoplasts, spheroplasts and L. forms*. The Williams & Wilkins Co., Baltimore.
15. Nermut, M. V., and R. G. E. Murray. 1968. The substructure of the outer layer of *Bacillus polymyxa* cell wall. *Z. Allg. Mikrobiol.* 8:195-204.



شکل (۱) برشی از باسیل بدون اسپور فاستیدیوس (B.Fastidious) که با متدرنک آمیزی منفی (Negative Stain) رنک شده است.

اشکال (۴-۲)- برشی از باسیل بدون اسپور فاستیدیوس (B.Fastidious) را نشان میدهد که با متدرنک فریزا یچینگ خارجی = W غشاء سیتوپلاسمی = PM و سکشن خارجی غشاء S علامت گذاری شده است.

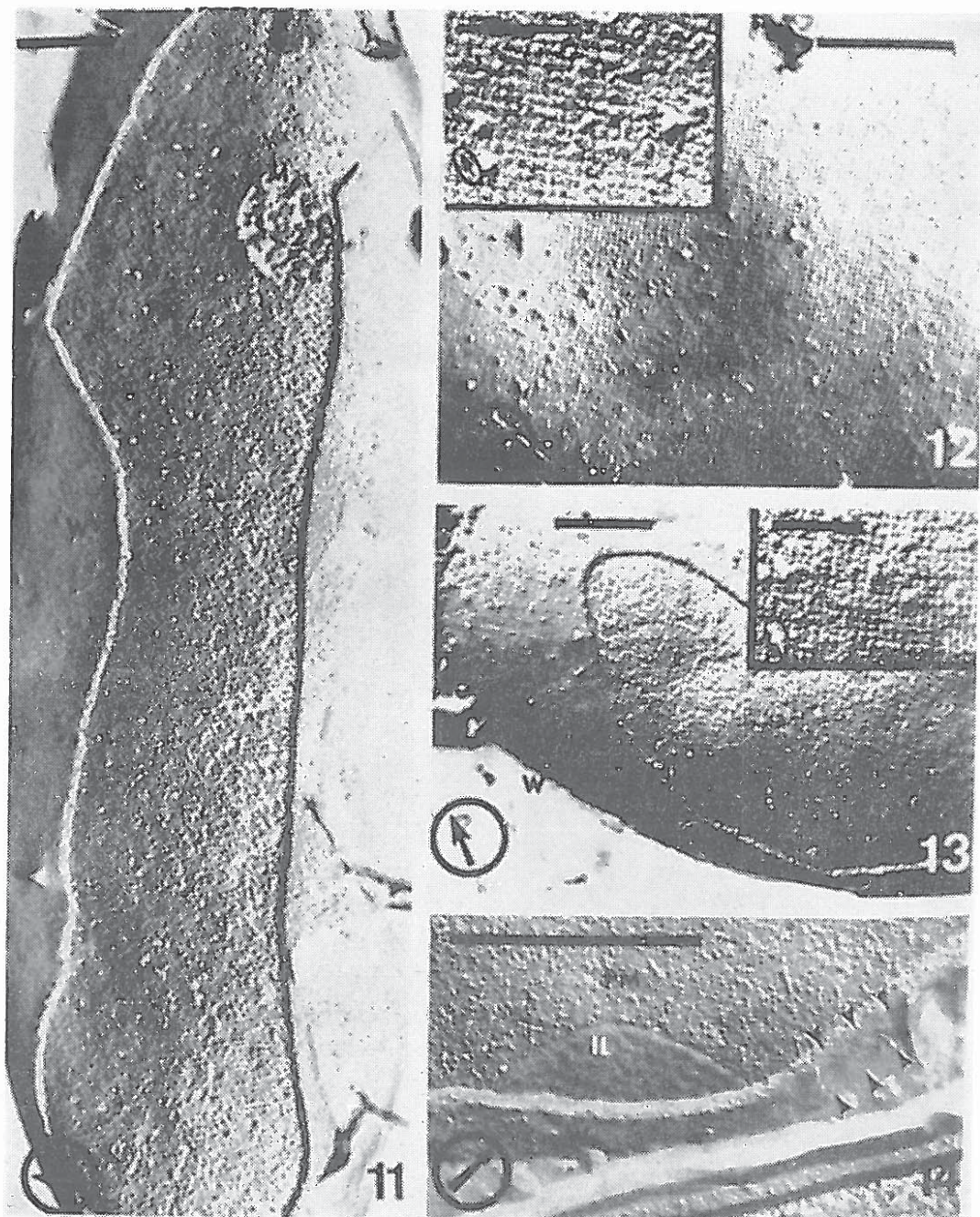


شکل (۵) برشی از باسیل بدون اسپور ماسکروئید (B.Macroides) است.

اشکال (۷و۶) باسیل ماسکروئید را که با متدرنک آمیزی منفی (Negative Stain) تهیه شده نشان میدهد.

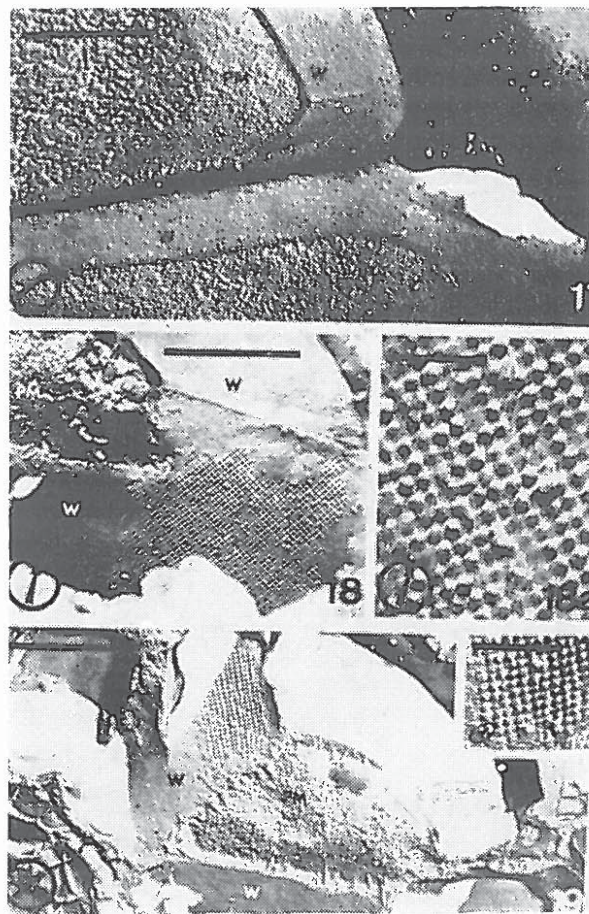
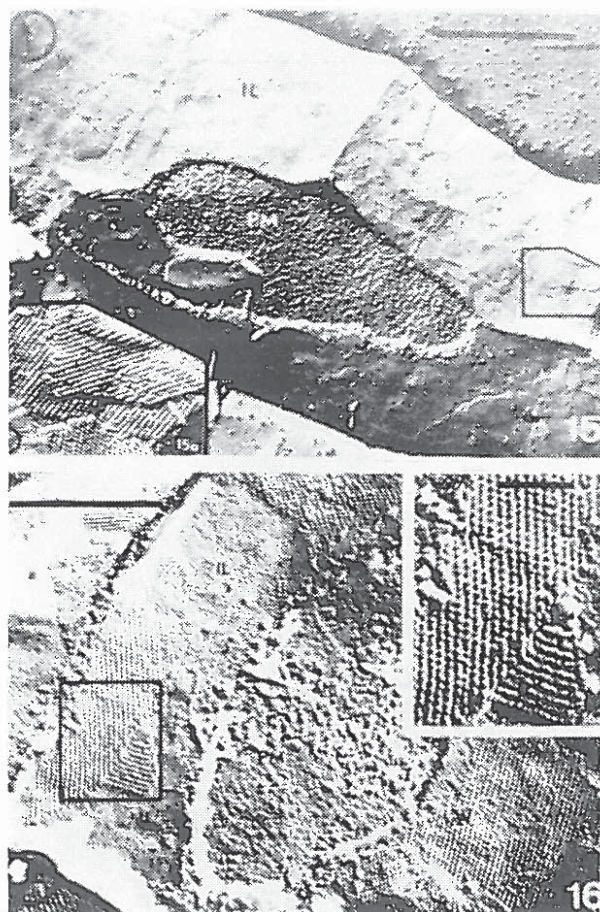
شکل (۸)- باسیل ماسکروئید نوع P را که متدرنک فریزا یچینگ تهیه شده نشان میدهد.

اشکال (۹و۱۰)- باسیل ماسکروئید نوع A که با متدرنک فریزا یچینگ تهیه شده است.



اشکال (۱۱-۱۴)- برشی از باسیل بدون اسپور پایی-  
میگزا ( B.Polymyxa ) میباشد که مزوژوهمها مشخص است.

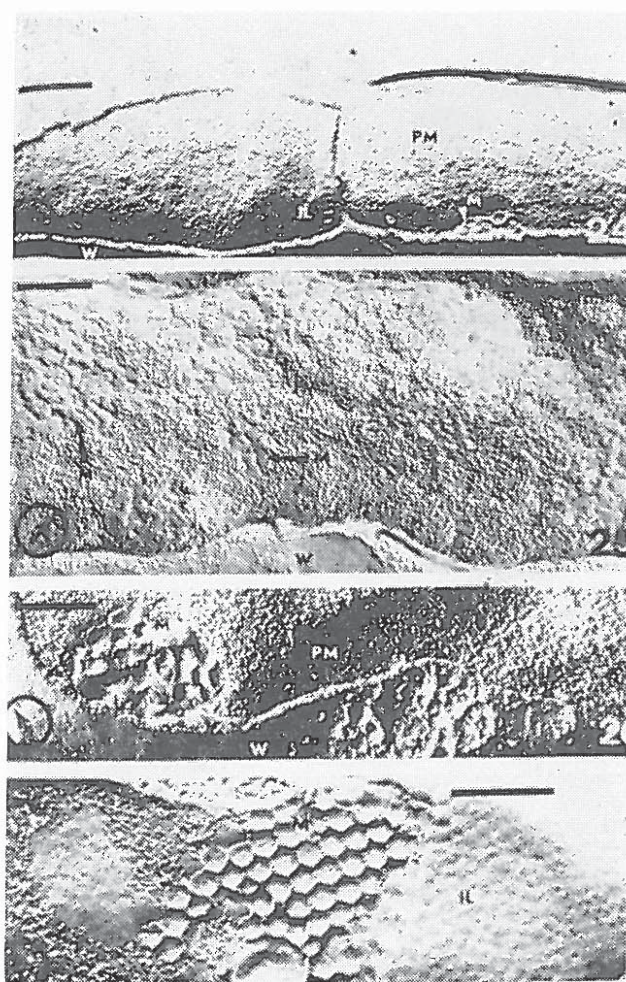
اشکال (۱۶-۱۵) - برشی از باسیل بدون اسپور شار بن رانشان میدهد که مقدار فریزا یچینک تهیه شده است.



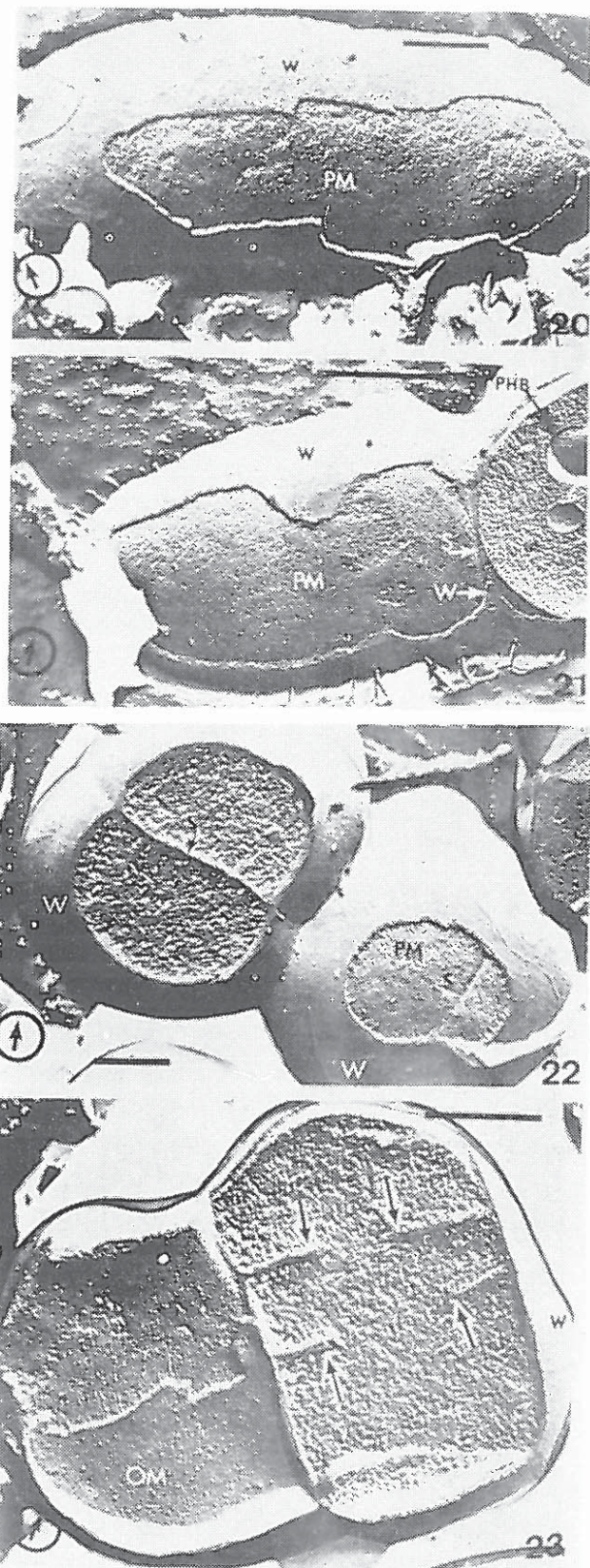
اشکال (۱۹-۱۷) - برشی از باسیل بدون اسپور پسی - کروفیل ( B.Psychrophilus ) که بامتد فریزا یچینک تهیه شده است .



اشکال (۲۱۹۲۰) - باسیل بدون اسپور مغایر یوم که برش داده شده است و گرانولهای (Poly-B-Hydroxybutyrate) PHB بخوبی نمایان است.

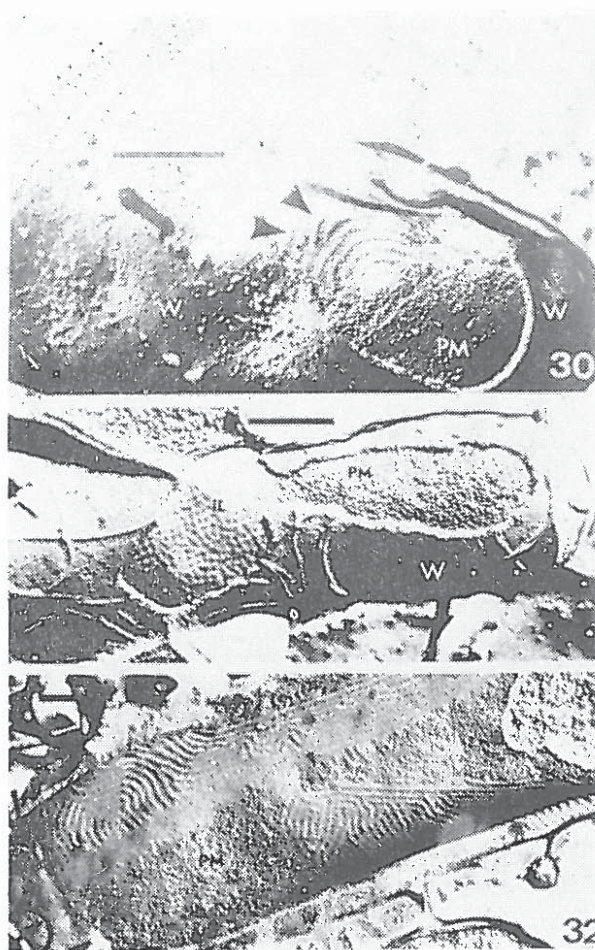
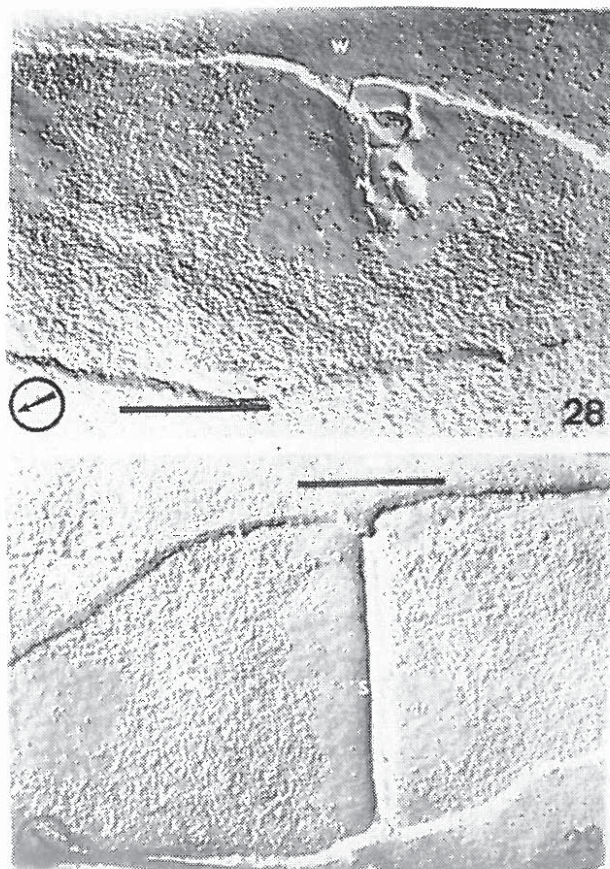


اشکال (۲۷-۲۶) - نشان دهنده برشی از باسیل سریس (B.Cereus) است که نشان دهنده محل مزوژوم و نشان دهنده لایه داخلی است.



اشکال (۳۳۹۲۲) - برشی از باکتری سارسینا اور آ (S.Ureae) است که بامتد فریز! یچینک تهیه شده است آروها نشان دهنده بندهای در باکتری و OM نشان دهنده قسمت داخل غشاء پلاسمای میباشد.

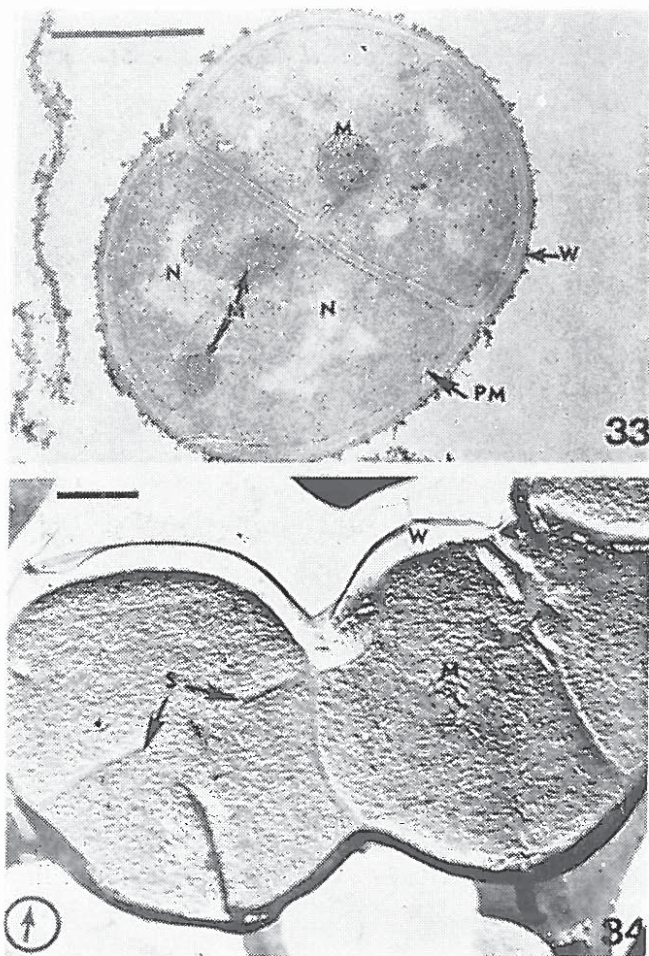
اشکال (۲۸-۲۹) - نشان دهنده برشی از باسیل سریس (B.Cereus) است که پارتیکلهای در اطراف مزوژوم ها مشخص نیستند.



اشکال (۳۰-۳۱) - نشان دهنده برشی از باسیل سریس (B. Cereus) است که مزوژومهای واژونه و پارتیکلهای سطحی را نشان میدهد.

شکل (۳۲) - نشان دهنده برشی از باسیل سریس (B.cereus) است که بطور منظم پارتیکلهای مشخصی را نشان میدهد.

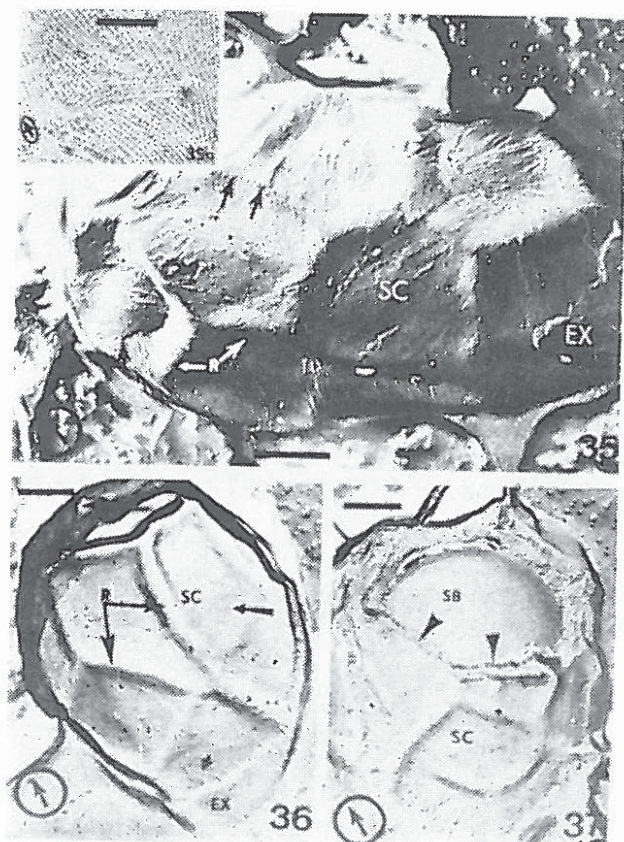


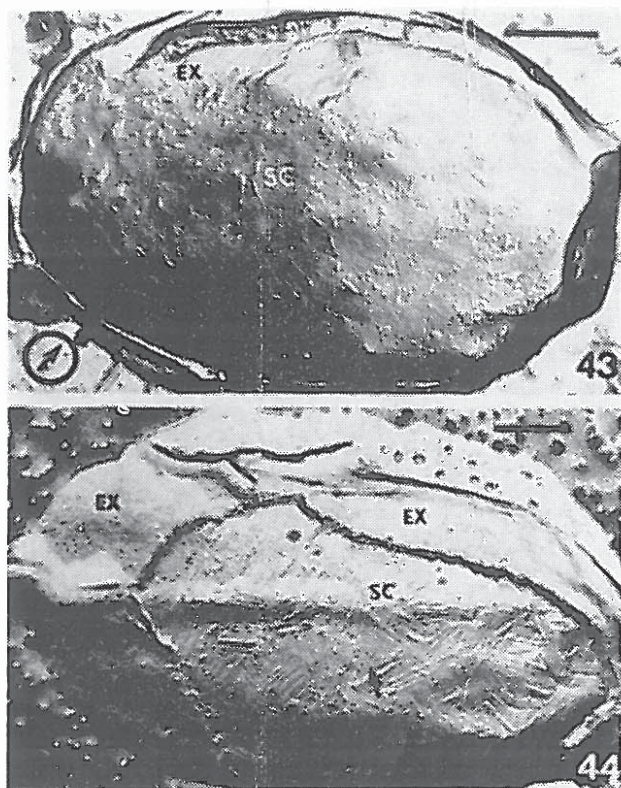


شکل (۳۳) - برش نازی از ( *S.Ureae* ) را نشان میدهد و مشخص کننده محل مژوزمه است.

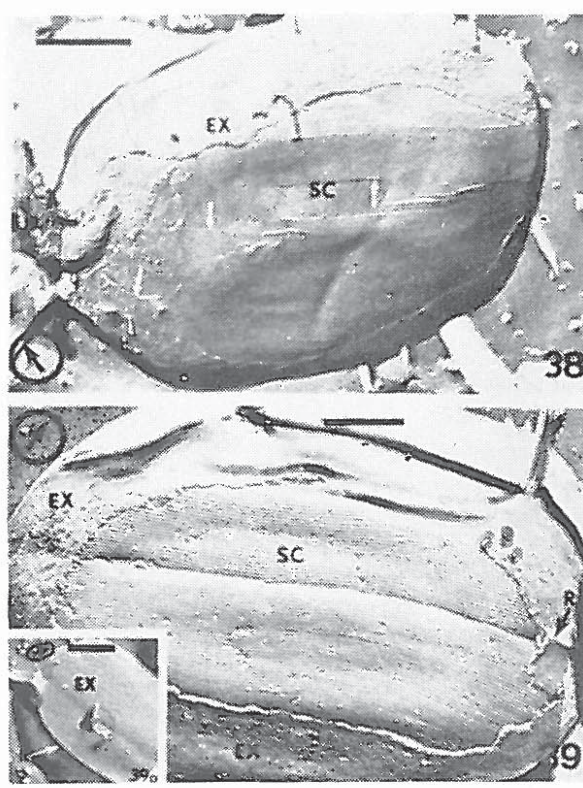
شکل (۳۴) - برشی از ( *S.Ureae* ) که بامتد فریز- ایچینک تهیه شده که بندهای ( Septa ) غشاء دیده میشود.

اشکال (۳۷-۳۵) - برشی از اسپور باسیل فاستیدیوس  
است . ( *B.Fastidiosus* )  
لایه‌هایی از کت اسپور = Spore Coat  
قسمت انتهای اسپور = Ridges Spore  
قسمت خارجی اسپور = Exosporium  
بدن اسپور = Spore Body

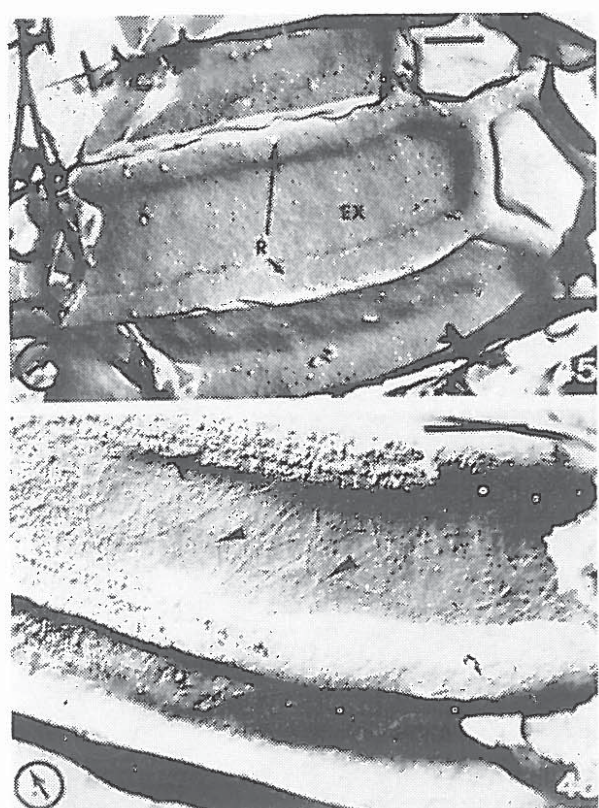




اشکال (۴۳-۴۶) - برشی از اسپور با سیل سریس  
که با متند فریز ایچینیک تهیه شده است.



اشکال (۳۸-۳۹) - برشی از اسپور با سیل سوبتیلیس  
که با متند فریز ایچینیک تهیه شده است.

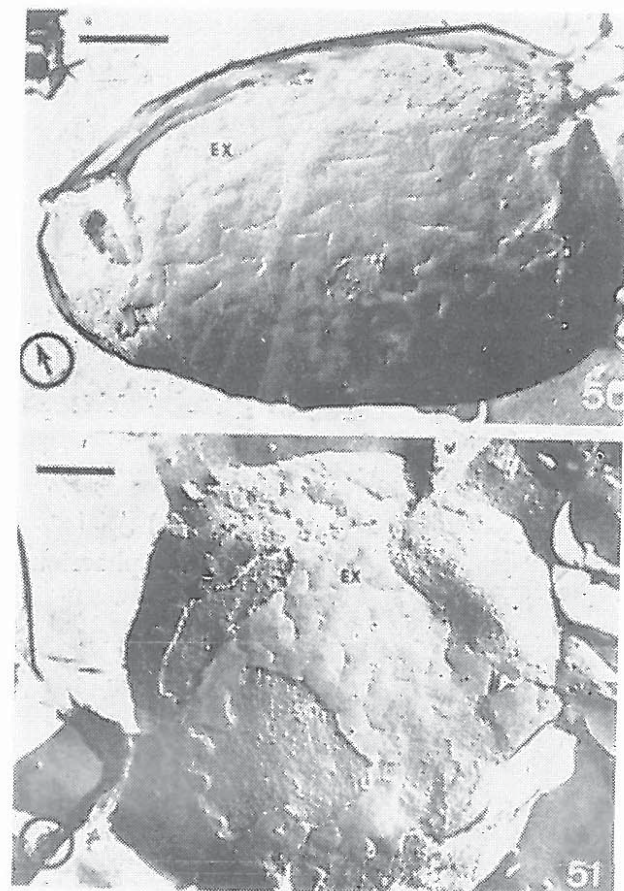
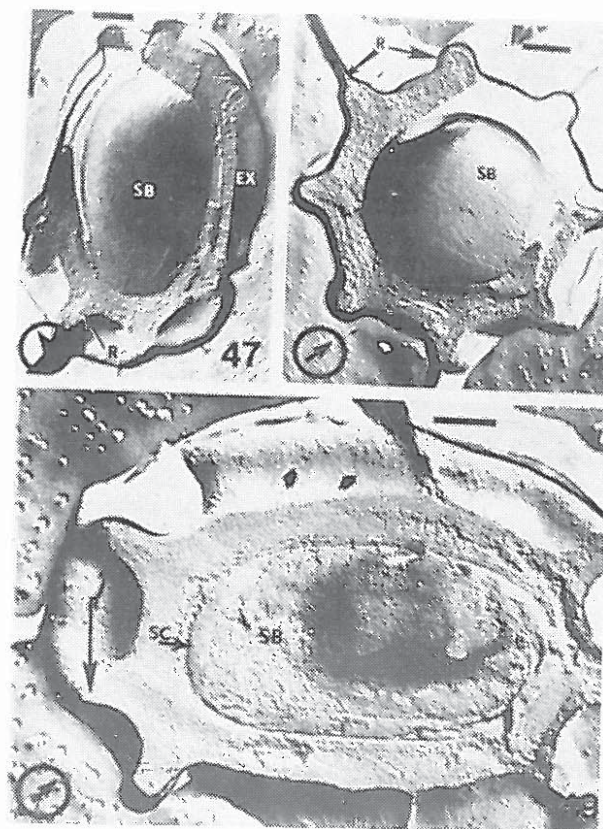


اشکال (۴۷-۴۹) - برشی از سطح خارجی اسپور با سیل  
پلی میکزا (B. Polymyxa) است که با متند فریز ایچینیک  
تهیه شده است.



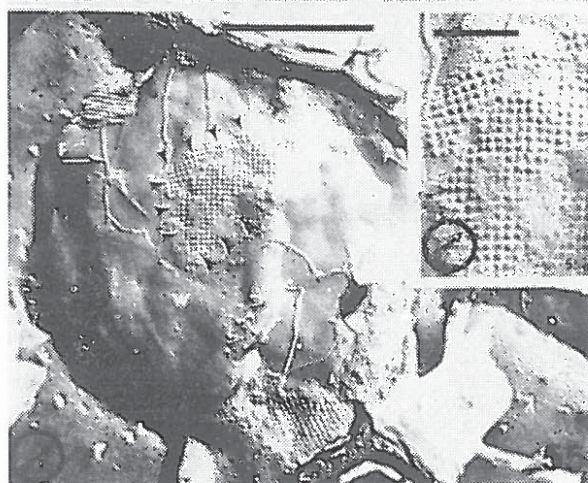
اشکال (۴۰-۴۲) - برشی از اسپور با سیل لجنی فورمیز  
که با متند فریز ایچینیک تهیه شده است.

اشکال (۴۹-۴۷) - برشی از اسپور باسیل پلی میکرزا است که بامتد فریز ایچیناک تهیه شده است.



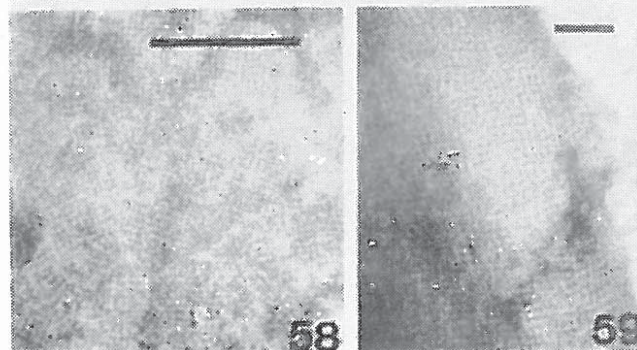
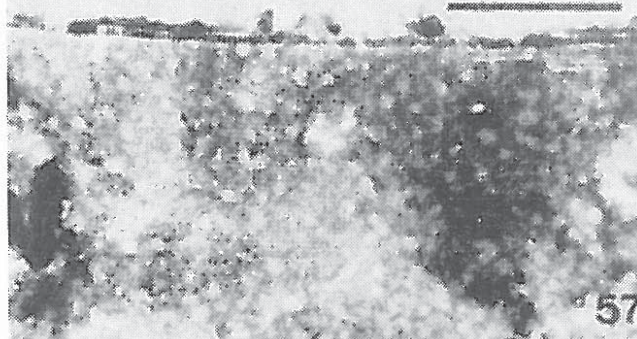
اشکال (۵۰-۵۱) - برشی از اسپور باسیل مگاتریوم می باشد که بامتد فریز ایچیناک تهیه شده است.

شکل (۵۲) - برشی از اسپور با سیل مگاتریوم را نشان میدهد که قسمت خارجی اسپور مشخص است.



اشکال (۵۵-۵۶) - برشی از اسپور با سیل اسفاریکوس میباشد. (B.S phaeericus)





اشکال (۵۶-۵۹) - برشی از اسپور باسیلهای پلی میکرا  
ماکروئید - فاستیدیوس و سریس میباشد که بامتنان آمیزی  
منفی ( Negative Stain ) تهیه شده است .

←



اشکال (۶۰-۶۱) کربن رپیکه از اسپور باسیل پلی میکرا  
و باسیل فاستیدیوس را نشان میدهد .

→